## 稀土对高硫易切削钢中夹杂物的影响研究

#### 范 磊 李 晨 姜茂发

(多金属共生矿生态化冶金教育部重点实验室 东北大学冶金学院 辽宁 沈阳 110819)

摘 要: 为探究稀土对高硫易切削钢中夹杂物的影响作用,进行了高温模拟试验及热力学分析。研究表明,当 Ce 含量为 0.01%时,钢中的主要夹杂物类型为 MnS 和 CeAlO<sub>3</sub>,MnS 可以在 CeAlO<sub>3</sub> 表面析出形成复合夹杂物,复合夹杂物的数量占比约 3.01%; 当 Ce 含量为 0.05%时,钢中的主要夹杂物类型为 MnS、CeAlO<sub>3</sub> 和 Ce<sub>2</sub>S<sub>3</sub>,MnS 可与 Ce<sub>2</sub>S<sub>3</sub> 互相包裹形成复合夹杂物,复合夹杂物数量占比约 5.11%。当 Ce 含量由 0.01%增大为 0.05%时,钢中 II 类链状 MnS 夹杂物数量明显减少 硫化物尺寸有所减小。

关键词: 高硫易切削钢; 夹杂物; 稀土; 热力学

中图分类号: TF76 ,TG146.4 文献标志码: A

**DOI**: 10.7513/j.issn.1004-7638.2020.06.021

文章编号: 1004-7638( 2020) 06-0119-05

开放科学(资源服务)标识码(OSID):

听语音 聊科研 ·

# Experimental Study on the Effect of Rare Earth on Inclusions in High-sulfur Free-cutting Steel

Fan Lei Li Chen Jiang Maofa

( Key Laboratory for Ecological Metallurgy of Multimetallic Ores( Ministry of Education) School of Metallurgy Northeastern University Shenyang 110819 Liaoning China)

**Abstract**: In order to explore the effect of rare earth on inclusions in high-sulfur free-cutting steel ,the high temperature simulation experiments and thermodynamic analysis were carried out in this work. The results showed that the types of inclusions were MnS and CeAlO<sub>3</sub>. MnS could precipitate on the surface of CeAlO<sub>3</sub> to form complex inclusions and the proportions of complex inclusions was about 3.01%. When the content of Ce was 0.05% the main types of inclusions were MnS  $\text{Ce}_2\text{S}_3$  and CeAlO<sub>3</sub>. MnS could wrap with Ce<sub>2</sub>S<sub>3</sub> to form complex inclusions and its proportions was about 5.11%. With the content of Ce increasing from 0.01% to 0.05% the type II chain-like MnS in steel significantly reduced and the size of sulfide decreased.

Key words: high-sulfur free-cutting steel inclusion rare earth thermodynamics

## 0 引言

在含硫易切削钢中 ,MnS 夹杂物为主要的切削相。由于 MnS 为塑性夹杂物 ,在热加工时易沿加工

方向伸长变形,其形态控制对于钢的切削性能具有重要影响。研究 $^{[1]}$ 表明, $^{MnS}$  夹杂物在钢中主要存在三种类型,呈链状分布的  $\mathbb{I}$  类  $^{MnS}$  的变形能力最大,呈球状分布的  $\mathbb{I}$  类  $^{MnS}$  的变形量最小。

收稿日期: 2020-08-15

基金项目: 国家重点研发计划(2017YFC0805100); 国家自然科学基金(51874082); 国家自然科学基金辽宁联合基金(U1908224)。

作者简介: 范 磊(1993—) 男 博士生 主要从事钢中夹杂物控制研究工作; E-mail: 2805289056@ qq.com; 通讯作者: 姜 茂发(1955—) 男 博士 教授 E-mail: jiangmf@ smm.neu.edu.cn。

目前,国内钢铁企业普遍采用 Ca 处理技术对含硫易切削钢中 MnS 夹杂物进行变质,形成变形能力较弱的( Ca ,Mn) S 夹杂物,但钢中易形成大量高熔点 CaS 夹杂物,导致连铸过程中的水口结瘤<sup>[2]</sup>。有学者<sup>[3-4]</sup>尝试采用 Mg 处理技术对含硫易切削钢中的 MnS 夹杂物进行变质,取得一定效果,但同样面临着变质效果不稳定、连铸工艺不稳定等问题,至今未能实现产业化应用。

与 Ca、Mg 相比较 高温条件下稀土与钢液互溶,与钢中氧、硫等元素的亲和力强,可将超低硫钢中的硫化物变质为稀土硫化物。 孙荣耀 [5] 研究发现 稀土处理可使含硫易切削钢 45 Ti S (S=0.065%) 中形成  $Ce_2S_3$  和  $Ce_2O_2S$  夹杂物,从而改善切削性能。稀土处理易切削钢 42 Cr MoS (S=0.089%),可以改善横向冲击性能  $^{[6]}$ 。稀土对高硫易切削钢  $(S \geqslant 0.1\%)$   $^{[7]}$  中夹杂物的控制效果尚有待于进一步深入研究。

因此 笔者通过高温模拟试验结合热力学分析,探究稀土对高硫易切削钢中夹杂物的影响作用规律,以期为高硫易切削钢中的夹杂物控制提供新思路。

#### 1 试验方法

#### 1.1 试验过程

高温模拟试验冶炼高硫易切削钢所需原料包括工业纯铁、锰铁合金、高纯铝线、硫化亚铁、铈铁合金。试验步骤为将工业纯铁、锰铁合金共约 400~g 原料放入  $MoSi_2$  高温管式炉内的 MgO 坩埚中 在氩气保护下随炉加热到 1~600~C 并保温 30~min。利用定氧仪(基于固体电解质浓差电池法原理) 将固体电解质氧探头插入钢液内部 测定钢液初始氧活度,记为  $a[O]_1$  根据氧活度计算并加入铝线进行脱氧。脱氧 5~min 后再次测定钢液氧活度,记为  $a[O]_2$  加入硫化亚铁。脱氧 30~min 后,用石英玻璃管抽取钢液并立即插入到冰水混合浴中,记为 S1 ,在铈铁合金加入 30~min 后进行取样,记为 S2。试验结束,控温冷却至室温。

两种试验钢仅考察 Ce 含量不同的情形,所得试验钢主要化学成分如表1所示。

表 1 试验钢主要化学成分

Table 1 Main chemical compositions of experimental steels %

 序号	Mn	s	Al	ТО	Ce	a[O] <sub>1</sub>	a[O] <sub>2</sub>
A	1.59	0.242	0.045	0.006 2	0.01	0.005 2	0.000 6
В	1.64	0.221	0.048	0.006 8	0.05	0.005 5	0.000 7

#### 1.2 检测分析方法

用电感耦合等离子体发射仪检测钢中的锰、铝、铈含量。利用碳硫分析仪检测硫含量。使用扫描电镜观察钢样中夹杂物的形貌特征,并借助能谱仪分析夹杂物的成分。用扫描电镜在2000倍数下对1.5 mm² 范围连续拍照,借用图像分析软件 ipp 6.0 统计夹杂物尺寸。

#### 2 结果与讨论

#### 2.1 夹杂物的形貌及成分分析

两种试验钢中典型夹杂物的形貌及成分分析如 图 1 所示。

铝脱氧 30 min 后 钢液中夹杂物均为 Al<sub>2</sub>O<sub>3</sub> 形 状较不规则,如图 1(a)、1(e) 所示。添加 Ce-Fe 合 金 30 min 后 Ce 含量为 0.01%的钢液中稳定存在的 夹杂物类型为 CeAlO。多呈块状分布 如图 1(b) 所 示。凝固过程中析出了大量的 MnS ,形状不规则如 图 1(c)、1(d) 所示。统计分析表明,钢中形成了一 定量以 CeAlO<sub>3</sub> 为核心、外围包裹 MnS 的复合夹杂 物 其数量占比约为 3.01%。图 1(f)、1(g) 为 Ce 含 量为 0.05% 的钢液中稳定存在的夹杂物类型为 CeAlO, 和 Ce,O,S ,其中 Ce,O,S 呈球形分布。凝固 过程中同样析出了大量的 MnS ,同时还有少量的 Ce,S, 析出。统计分析表明,钢中同样析出了少量 以 CeAlO。为核心、外围包裹 MnS 的复合夹杂物 同 时还形成了较多 Ce<sub>2</sub>S<sub>3</sub> 和 MnS 互相包裹的复合夹杂 物 其数量占比约为 5.11% 如图 1(h) \1(j) \1(k) 所示。Ce<sub>2</sub>S<sub>3</sub> 的线膨胀系数为 12.7×10<sup>-6</sup>/℃ ,小于 MnS 的线膨胀系数 18.1×10<sup>-6</sup>/℃<sup>[8]</sup>。可以预测到, 在后期的退火工艺条件下,夹杂物中的元素逐步扩 散并均匀化 这种复合夹杂物的变形能力将得到一 定程度的抑制。

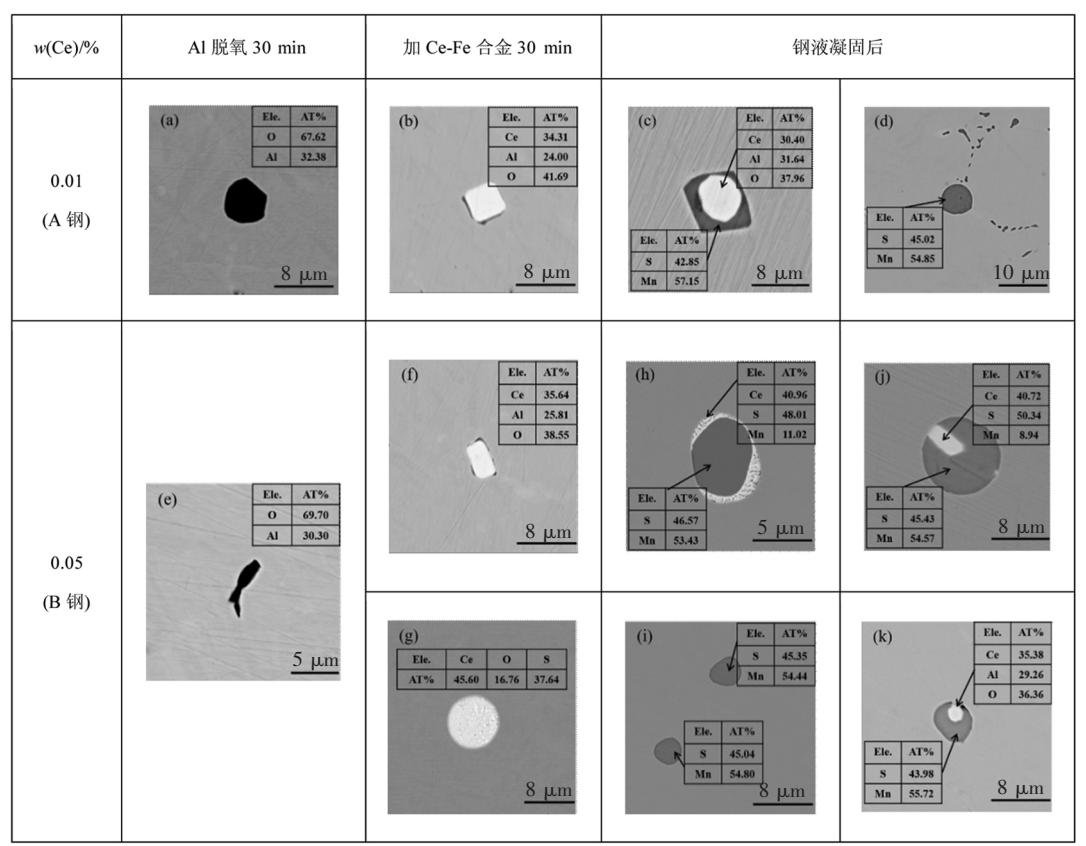
#### 2.2 钢中硫化物的形貌及尺寸分布分析

图 2 为试验钢中夹杂物分布的扫描电镜照片。由图 2 可以看出 ,Ce 含量为 0.01%的钢中 MnS 主要以 II 类链状形式 ,沿晶界分布 ,如图 2(a) 所示。当钢中 Ce 含量增大为 0.05%时 ,II 类链状 MnS 明显减少 ,I 类球状或 III 类块状 MnS 数量增加 ,如图 2(b) 所示。

图 3 为两组试验钢中硫化物尺寸分布统计分析结果。由图 3 可知 Ce 含量为 0.01%的钢中硫化物尺寸主要集中在  $5 \sim 8$   $\mu m$  ,数量占比 42.17%; 而>8  $\mu m$  的硫化物数量占比 24.10% ,其在轧制过程中更

易伸长变形 $^{[9]}$ 。当钢中 Ce 含量增大为 0.05% 时,钢中硫化物尺寸有所减小,主要集中在  $2 \sim 5~\mu$ m,数量

占比 41.33% ,尺寸>8  $\mu m$  的硫化物数量占比减小为 15.48% 。



(a)~(d) A 钢 (e)~(k) B 钢

#### 图 1 两组试验钢典型夹杂物的形貌及成分

Fig.1 Morphology and compositions of typical inclusion in two kinds of experimental steels

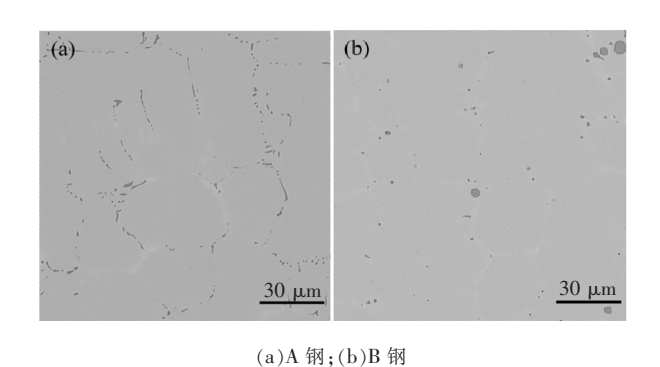


图 2 试验钢中硫化物的形貌及尺寸分布 Fig.2 Macroscopic morphology and distribution of sulfide in experimental steels

#### 2.3 热力学分析

采用 FactSage 热力学软件计算试验钢中夹杂物的析出行为。

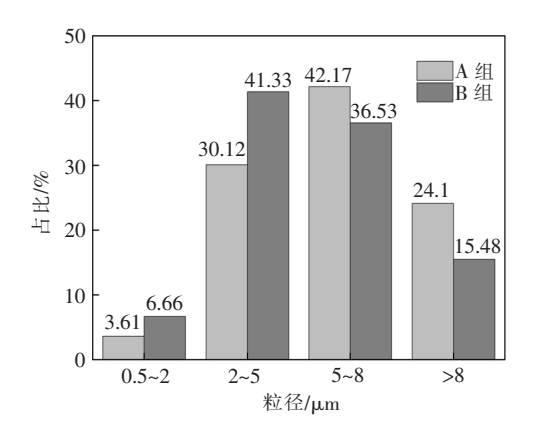


图 3 试验钢中硫化物尺寸分布统计 Fig.3 Statistics of size distribution of sulfide in experimental steels

鉴于软件中稀土氧硫化物( $Ce_2O_2S$ ) 热力学数据的缺失 笔者将式(1) 中 $Ce_2O_2S$  热力学数据<sup>[10]</sup>添

加至 Private database(PD),依据 Gibbs-Helmholtz 方程计算其纯物质的 Gibbs 自由能。采用 FactSage 热力学软件中的 FTPS、FToxide 和 FTStel 数据库 利用 Equilib 模块中非平衡计算绘制试验钢夹杂物凝固析出规律,计算结果如图 4 所示。

$$S_{298}^{\theta} = 130.5 \text{ J/mol}$$
  
 $C_p^{\theta} = 124.89 + 23.64 \times 10^{-3} T - 2.09 \times 10^6 T^{-2} \text{ J/}$   
( mol · K)

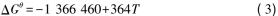
 $\Delta H_{298}^{\theta} = -1 696.6 \text{ kJ/mol}$ 

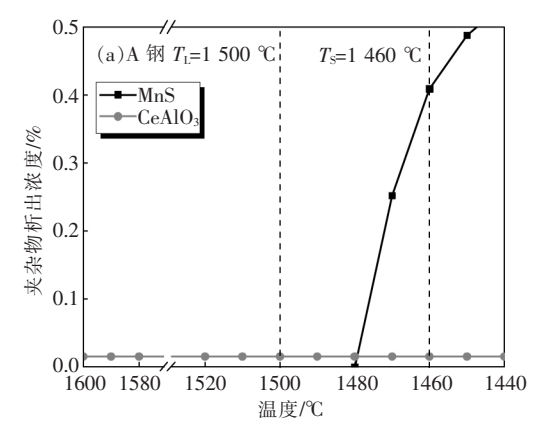
 $Ce_2O_2S(s)^{[10]}$ 

由图 4 可知 ,Ce 含量为 0.01% 的钢液中稳定存在的夹杂物类型为  $CeAlO_3$  ,Ce 含量为 0.05% 的钢液 中稳 定存在的夹杂物类型为  $CeAlO_3$  和  $Ce_2O_2S$  ,且  $Ce_2O_2S$  的析出浓度高于  $CeAlO_3$ 。在钢液凝固过程中 , [Mn]、[S]元素易发生偏析富集 ,

使得 MnS 在固液两相区间析出 $^{[11]}$  ,其析出温度约为 1480  $^{\circ}$  。钢中析出的  $CeAlO_3$  夹杂物可作为 MnS 的形核核心 ,MnS 在其表面析出。 $Ce_2O_2S$  可结合 [S] 形成  $Ce_2S_3$  ,如反应式 (2) 所示 ,使得  $Ce_2O_2S$  析出浓度降低 , $Ce_2S_3$  析出浓度增大。且式 (2) 中释放出的 [O] 可参与到  $CeAlO_3$  的形成反应 ,如式 (3) 所示 ,使得其浓度有所增大。由图 (h) 、(j) 可知 ,析出的  $Ce_2S_3$  与部分 MnS 互相包裹形成复合夹杂物 ,这可能与  $Ce_2S_3$  在高温下可固溶 MnS 有关  $^{[12]}$  。

$$Ce_2O_2S+2[S] = Ce_2S_3+2[O]$$
  
 $\Delta G^{\theta} = 278\ 560-3.\ 28T$  (2)  
 $[Ce]+[Al]+3[O] = CeAlO_3$ 





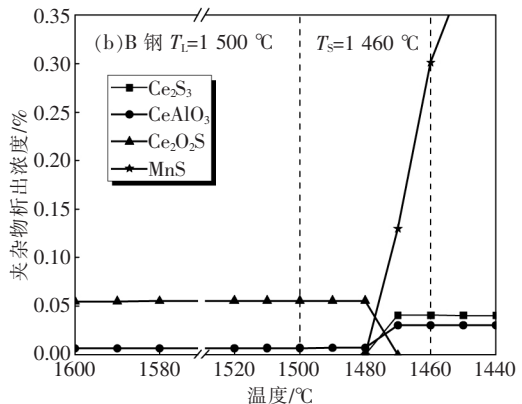


图 4 钢液凝固过程夹杂物析出演变

Fig.4 Evolution of inclusions during the solidification of steels

### 3 结论

- 1) 添加 0.01% Ce 时 ,高硫易切削钢中存在 CeAlO<sub>3</sub> 、MnS 两种夹杂物 ,MnS 可在 CeAlO<sub>3</sub> 夹杂物 的表面析出。添加 0.05% Ce 时 ,钢中形成 MnS 、CeAlO<sub>3</sub> 和 Ce<sub>2</sub>S<sub>3</sub> 夹杂物 ,MnS 可与 Ce<sub>2</sub>S<sub>3</sub> 互相包裹形成复合夹杂物。
- 2) 添加 0.05% Ce 时 高硫易切削钢中沿晶界分布的 II 类链状 MnS 数量明显减少 ,I 类球状或Ⅲ类

块状 MnS 数量增加 ,钢中硫化物尺寸有所减小 ,硫化物夹杂控制效果较好。

#### 致谢

本工作得到了国家重点研发计划 2017YFC0805100、国家自然科学基金 51874082 和 国家自然科学基金辽宁联合基金 U1908224 的支持 在此表示感谢。

#### 参考文献

- [1] Ito Y Masumitsu N Matsubara K.Formation of manganesesulfide in steel [J].ISIJ International ,1981 21:477-484.
- [2] Bielefeldt W V ,Vilela A C F.Study of inclusions in high sulfur ,Al-killed Ca-treated steel via experiments and thermodynamic calculations [J]. Steel Research International 2014 ,86(4): 375–385.
- [3] Zhang T S ,Wang D Y ,Liu C W et al. Modification of inclusions in liquid iron by Mg treatment [J]. Journal of Iron and Steel Re-

- search International 2014 21( Supplement 1):99-103.
- [4] Kim H S Chang C H Lee H G. Evolution of inclusions and resultant microstructural change with Mg addition in Mn/Si/Ti deoxidized steels [J]. Scripta Materialia 2005 53(1):1255-1258.
- [5] Sun Rongyao ,Hao Shiming.Investigation on the improvement of cutting properties of tool steels by the addition of rare earth elements [J].Iron and Steel ,1982 ,17(5): 58-63.
  - (孙荣耀 郝士明.稀土元素改善工具钢切削性能的研究[J].钢铁 ,1982 ,17(5):58-63.)
- [6] Zhao Maiqun ,Wang Weike ,Zhang Hao ,et al. Analysis on sulphide inclusions in free-cutting 42CrMoS steel modified by rare earth elements [J]. Heat Treatment of Metals 2004 29(11): 20-23.
  - (赵麦群,王伟科,张颢, 等.稀土改性42CrMoS 易切削钢中的硫化物夹杂分析[J].金属热处理,2004,29(11):20-23.)
- [7] Wang Jinlong Qiao Aiyun Zhang Xinggang. Summary on mechanism of machinability and control of sulfide for sulphur free-cutting steel [J]. Science and Technology of Baotou Steel 2015 41(1):30-32.
  - (王金龙,乔爱云, 涨行刚,含硫易切削钢切削性机理与硫化物控制简述[J].包钢科技, 2015, 41(1):30-32.)
- [8] Xu Chuancai Zhang Longshui. The effect of rare earth on the structure and properties of bearing steel [J]. Journal of Xi' an Institute of Metallurgy and Construction Engineering ,1987 50(2):71-78.
  - (许传才 涨隆水.稀土对轴承钢组织和性能的影响[J].西安冶金建筑学院学报,1987,50(2):71-78.)
- [9] Zhang Shuo ,Yang Shufeng ,Li Jingshe ,et al. Morphology of MnS inclusions in Y15 high sulfur free-cutting steel by tellurium treatment [J]. Iron and Steel 2017 52(9): 27-33 41.
  - ( 张硕 杨树峰 ,李京社 ,等,碲处理控制 Y15 易切削钢中 MnS 夹杂物形貌 [J].钢铁 2017 52(9):27-33 41.)
- [10] Binnewies M Milke E.Thermochemical data of elements and compounds [J]. Applied Mathematics & Mechanics 1999 31(1):55-65.
- [11] Hu D L Liu Hui Xie J B *et al*. Analysis of precipitation behavior of MnS in sulfur-bearing steel system with finite-difference segregation model [J]. Journal of Iron & Steel Research International 2018 25(8): 803-812.
- [12] Jiang Laizhu ,Cui Kun. Experimental study and thermodynamic calculation on the formation of MnS-RE<sub>2</sub>S<sub>3</sub> and (Mn ,Ca) S-RE<sub>2</sub>S<sub>3</sub> in free cutting steel [J]. Journal of the Chinese Society of Rare Earths ,1993 ,11(1):46-66. (江来珠 崔崑.易切削钢中共晶相 MnS-RE<sub>2</sub>S<sub>3</sub> 和(Mn、Ca) S-RE<sub>2</sub>S<sub>3</sub> 形成的试验研究及热力学计算[J].中国稀土学报 ,1993 ,11(1):46-66.)

编辑 杨冬梅

#### (上接第93页)

(刘才泽 秦建华 李明雄 等.四川攀西地区钒钛磁铁矿成矿元素富集过程模拟与资源潜力评价 [J].吉林大学学报(地球科学版) 2013 43(3):758-775.)

- [10] Hui Bo Chen Xiaoqing Xu Ying. Study on vanadium occurance state in shale-type vanadium ore and forecast of beneficiation in-dex [J]. Mining and Metallurgical Engineering 2013 33(1):37-40.
  - (惠博 陈晓青 徐莺.某页岩型钒矿中钒的赋存状态研究及选别指标预测[J].矿冶工程 2013 33(1):37-40.)
- [11] Zhong Wen ,Yin Jin ,Huo Dongchan ,et al. Geological characteristics of shimen vanadium deposit in chongyang county ,Hubei province and analysis of occurrence status of vanadium [J]. Resources Environment and Engineering 2018 32(4):523-527. (钟温 尹近 霍东婵 等.湖北省崇阳县石门钒矿地质特征及钒的赋存状态分析[J].资源环境与工程 2018 32(4):523-527.)
- [12] Yang Yaohui Hui Bo Liao Xiangwen *et al*. Beneficiation test on low-grade and refractory olivine-pyroxenite type vanadium-tita-nium magnetic ore from hongge [J]. Metal Mine 2016(10): 77–82.
  - (杨耀辉 惠博 廖祥文 等.红格低品位难选橄辉岩型钒钛磁铁矿石选矿试验[J].金属矿山 2016(10):77-82.)

编辑 邓淑惠